

III-14 数量化理論を用いた土石流災害に関する統計学的考察

長崎大学工学部 正員 柳橋 由彦 伊勢哲也
長崎大学工学部 学生員 ○川内 俊英 木下 幸弘

1. まえがき 昭和59年7月23日に長崎南部を襲った土木事件において、人的被害が最も多く、なあざつ、突發的で、発生予測が難しく、発生メカニズムというものが、完全に明らかにされていない土石流という現象を、統計学的手法の一つである数量化理論^{オーバー}類を用いて解析を行ったので、その結果と若干の考察を報告する。

2. 解析手順 図-1に沿い解析を行ったので、説明を加える。

2-1 対象地域は、土石流災害が最も多く、た東長崎八郎川流域について、次の三段階に分けて解析を行った。(1)八郎川左岸地域 (2)八郎川右岸地域 (3)八郎川左・右岸地域

2-2 サンプルの収集は、土石流が、災害においてほとんど発生しているという特徴から、1:5,000の地形図より、災害とみなせる場所を1ヶ所ずつ選び、発生か未発生かと、被災地図⁽²⁾により判別した。(1)左岸地域(発生86・未発生67) (2)右岸地域(115・75) (3)左・右岸地域(201・142)

2-3 説明アイテムは、土石流を発生させる要因の中から、各々のアイテムが、相関係数から判断して、独立であると考えられるものと、次の様に設定した。(流域面積・災害長・平均勾配・縦断形状・屈曲比・植生・災害密度・方位・地質) 各カテゴリは、AICTによる最適カテゴリの設定^等より、表-1の様に設定した。(但し、表-1は、左・右岸地域のレジスト表)

3. 結果及び考察 2-1において、三段階に分けて解析を行ったが、以下まとめて、考察を行う。

3-1 確率面からの土石流予測 解析結果 を全般的にみると、相関比は、(1)左岸地域(0.35) (2)右岸地域(0.25) (3)左・右岸地域(0.16)。各左岸地域、右岸地域の単一地域なら、両地域へと対象地域を広げると、相関比が、小さくなると(うことは、各カテゴリ数量の和として求められたサンプル・スコアによつて、外的基準における発生か未発生かを高い確率で判別するこ

とが、難しくなる)ということである。これを、図-2 サンプル・スコア分布(左岸)

別の角度から考えると、サンプル・スコアにおいて、判別点を設け、それより大きいか小さいかで、発生か未発生かと、判別する時の的中率を、ミニマックス法により求めると、(1)左岸地域 82.2% (図-2) (2)右岸地域 77.3% (省略) (3)左・右岸地域 69.2% (図-3)。即ち、左岸地域、右岸地域の単一地域を各自解析すると、その的中率は、約8割、両地域へ範囲を広げると、約7割の確率で、判別が可能となる。ところで、対象地域を広げて解析を行うと、的中率が減少することから、確率的な予測においては、対象地域を広げる事が、それ程意味のあることではない様に考えられる。しかししながら、土石流という現象にせようとすれば、ある程度の対象地域の広さ

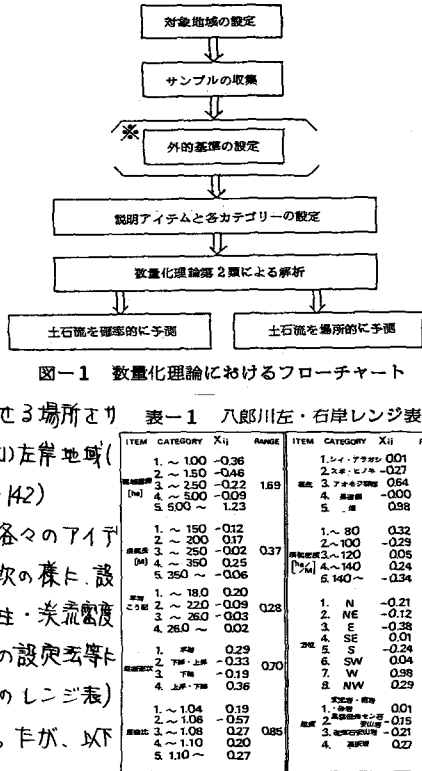


図-1 数量化理論におけるフローチャート

表-1 八郎川左・右岸レンジ表

ITEM	CATEGORY	X _{ij}	RANGE	ITEM	CATEGORY	X _{ij}	RANGE
1.	~ 100	-0.26		1.	レイ・アガサ	0.01	
2.	~ 150	-0.46		2.	エ・ヒル	-0.27	
3.	~ 250	-0.22	1.89	3.	アキラ	0.64	1.25
(M)	4. ~ 500	-0.09		4.	高須	-0.00	
	5. 500 ~	1.23		5.	山	0.98	
1.	~ 150	-0.12		1.	20	0.32	
2.	~ 200	0.17		2.	100	-0.29	
3.	~ 250	-0.02	0.37	3.	120	0.05	0.66
(M)	4. ~ 350	0.25		4.	4 ~ 140	0.24	
	5. 350 ~	-0.06		5.	140 ~	-0.34	
1.	~ 18.0	0.20		1.	N	-0.21	
2.	~ 22.0	-0.09	0.28	2.	NE	-0.12	
3.	~ 26.0	-0.03		3.	E	-0.38	
	4. 26.0 ~	0.02		4.	SE	0.01	1.36
				5.	S	-0.24	
1.	~ 2.0	0.29		6.	SW	0.04	
2.	~ 7.0 上	-0.33	0.70	7.	W	0.98	
3.	~ 7.0 下	-0.19		8.	NW	0.29	
	4. 上	0.36					
1.	~ 1.04	0.19		1.	~ 1.04	0.01	
2.	~ 1.06	-0.57	0.85	2.	~ 2.01	-0.15	0.48
3.	~ 1.08	0.27		3.	~ 2.01	-0.21	
4.	~ 1.10	0.20		4.	~ 2.01	0.27	
	5. 1.10 ~	0.27					

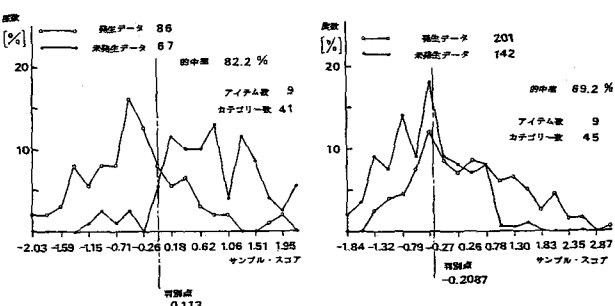


図-2 サンプル・スコア分布(左岸)

が必要となり、その点が難しい問題といえる。

3-2 場所的側面からの土石流予測 のアイテム・カテゴリー及び説明アイテムが、発生区分、未発生区分を判別するのに寄与しているかを以下に述べる。(但し、アイテム・カテゴリーによる寄与度は、カテゴリー数量の絶対値の大小により判断し、説明アイテムの寄与度は、レニジの大小により判断する。)

3-2-1 アイテム・カテゴリー 全体的にみると、発生区分に寄与していると考えられるカテゴリーには、図-4、5、6より流域面積が $5ha$ 以上、方位が西向き、累積密度が 80% 以下の時、未発生区分に寄与していると考えられるカテゴリーは、流域面積が $2.5ha$ 以下、方位が東向き、累積密度が 140% %以上のときである。

これより、集水面積の大小及び方位が西向きか東向きかが、7-23長崎木曽トヨイチは、土石流発生、未発生に大きな影響を与えたと考えられるであろう。ところで、問題となるのは、植生におけるカテゴリー数量である。左岸地域において、発生に寄与している焰やアオモジ群落が、右岸地域では、未発生に寄与しており、反対に、左岸地域において、未発生に寄与している果樹園が、右岸地域では、発生に寄与

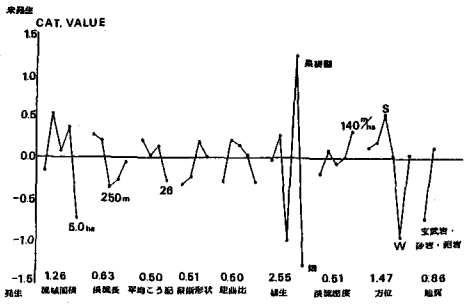


図-4 アイテム・カテゴリー数量(左岸)

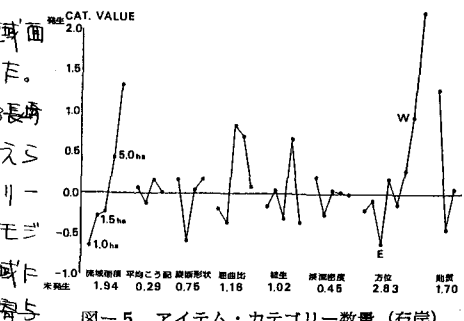


図-5 アイテム・カテゴリー数量(右岸)

してい。これらは、地形的要因が寄与しているのではないかと考えられる。即ち、左岸地域は、普賢岳(439m)、布仙岳(456m)・船石岳(444m)を中心とする地域であり、右岸地域は、小高い山(200m)を中心とする地域であり、その地形的差異からくる植生分布もかなり違う。実際に、植生に寄与して追跡調査を行うと、左岸地域では、アオモジ群落や焰においては、そのほとんどが、累積密度が 120% 以下であり、果樹園においては、ほとんどが、平均勾配 22% 以下のゆるやかという特徴があ。即ち、前者は、集水面積が大きく、その為に発生区分に寄与し、後者は、平均勾配が小さい為、未発生区分に寄与していると考えられる。次に、右岸地域では、アオモジ群落や焰においては、その方位は東向きであり、果樹園においては、その多くが累積密度 120% 以下である特色があ。即ち、前者が、未発生へ寄与し、後者が、発生へ寄与したのではないかと考えられる。上述の事より、本研究においては、植生におけるアイテム・カテゴリーは、それ自体が、発生、未発生を判別するのに寄与するのではなく、他のアイテム・カテゴリーと多分に関係し合、この様な結果が生じたのではないかと考えられる。

3-2-2 説明アイテム 全体的にみると、発生、未発生を判別するのに寄与している説明アイテムは、流域面積・方位・植生などで、あまり寄与していない説明アイテムには、累積長・平均勾配などがあげられる。

4 むすび 数量化理論において、最も大切な事が、正確なデータの収集ということは、(うまでもないが直切効用説明アイテムの収集や最高カテゴリーの設定法、解析結果等、非常に影響を及ぼすものである事を痛感した。なお本研究には、昭和54年度文部省自然災害科学研修費の一一部を使用し、計算には、本学情報処理センターFACOM・M-180 ADIIを、利用したことと附記する。最後

に、データ整理に用いた様々な資料を提供していただいた長崎県砂防課及び広島大学理学部・中西弘樹氏に深謝の意を表します。

- [参考文献] 1) 駒澤勉: 数量化理論ヒデータ処理、(1982)朝倉書店
- 2) 国際工業雑誌; S.57年長崎地区集中豪雨災害状況、(1982)
- 3) 長崎市; 長崎市の植生・附図植生分布図、(1978)
- 4) 長崎県; 土地分類基本調査・附図表月別地図、(1978)
- 5) 省立; 土石流(1)-土石流と災害- 土木技術資料 23-6(例)

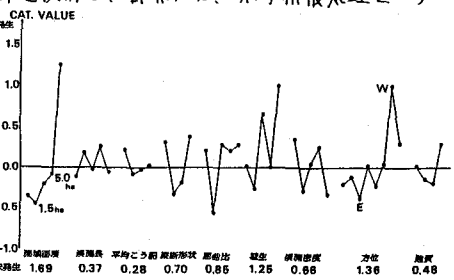


図-6 アイテム・カテゴリー数量(左・右岸)